

УДК 543.226:541.123.7

DOI: 10.26896/1028-6861-2017-83-35-38

## ПОЛИТЕРМА КРИСТАЛЛИЗАЦИИ СИСТЕМЫ $\text{NH}_4\text{NO}_3 - \text{C}_6\text{H}_{12}\text{N}_4 - \text{H}_2\text{O}$

© Т. В. Кастерина, А. С. Трунин<sup>1</sup>

*Статья поступила 15 февраля 2016 г.*

Представлены результаты исследования соединения  $\text{NH}_4\text{NO}_3 - \text{C}_6\text{H}_{12}\text{N}_4 - \text{H}_2\text{O}$ , включающего одну эвтектическую и две эвтонические системы. Установлено, что в эвтектической системе  $\text{NH}_4\text{NO}_3 - \text{C}_6\text{H}_{12}\text{N}_4$  область расслоения характеризуется наличием окислительно-восстановительных реакций, что подтверждается выделением газов. Расчет характеристик тройной эвтоники в системе  $\text{NH}_4\text{NO}_3 - \text{C}_6\text{H}_{12}\text{N}_4 - \text{H}_2\text{O}$  проводили методом моделирования, позволяющим получать состав и температуру плавления системы по данным о ее элементах ограничения. Кроме этого, решение обратной задачи, которое заключается в первоначальном определении характеристик тройной эвтоники, дает возможность оптимизировать выбор внутренних разрезов для выявления моновариантных кривых и поверхности кристаллизации. В качестве экспериментальных методов использовали дифференциальный термический и визуально-политермический анализы. С использованием полученных данных построена поверхность кристаллизации системы  $\text{NH}_4\text{NO}_3 - \text{C}_6\text{H}_{12}\text{N}_4 - \text{H}_2\text{O}$ , а исследование внутренних разрезов позволило определить размер области окислительно-восстановительных реакций внутри треугольника Таммана.

**Ключевые слова:** политерма; эвтоника; фазовая диаграмма; дифференциальный термический анализ; визуально-политермический анализ.

Исследование фазовых равновесий многокомпонентных систем — основа современного материаловедения — связано со значительными затратами времени и труда. Поэтому в последние годы активно используют метод моделирования фазовых равновесий.

Цель работы — моделирование характеристики тройной эвтоники системы  $\text{NH}_4\text{NO}_3 - \text{C}_6\text{H}_{12}\text{N}_4 - \text{H}_2\text{O}$  и построение полной политермы кристаллизации системы в целом.

При построении политермы кристаллизации сначала рассчитывали температуру плавления и состав тройной эвтоники методом моделирования по данным об элементах ограничения (двухкомпонентным системам). Затем, используя дифференциальный термический анализ (ДТА), правильность расчета подтверждалась экспериментально.

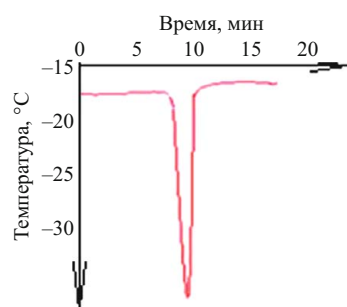
Полученные таким образом характеристики тройной эвтоники при построении поверхности кристаллизации позволили оптимизировать число внутренних разрезов системы (исследовали с помощью визуального политермического анализа — ВПА).

Традиционный подход в построении поверхности кристаллизации аналогичных систем предполагал решение практически обратной задачи, а именно: анализ значительно большего числа внутренних разрезов и по пересечению поверхностей кристаллизации исходных компонентов и моновариантных кривых определение характеристик — температуры плавления и состава тройной эвтоники.

Данные по элементам исследуемой системы  $\text{NH}_4\text{NO}_3 - \text{C}_6\text{H}_{12}\text{N}_4 - \text{H}_2\text{O}$  приведены в табл. 1 [1–4].

Отметим, что для  $\text{NH}_4\text{NO}_3 - \text{C}_6\text{H}_{12}\text{N}_4$  характерно наличие на фазовой диаграмме окислительно-восста-

<sup>1</sup> Самарский государственный технический университет, г. Самара, Россия; e-mail: trunin.as@samgu.ru



**Рис. 1.** Термограмма ДТА рассчитанного состава эвтоники системы  $\text{NH}_4\text{NO}_3 - \text{C}_6\text{H}_{12}\text{N}_4 - \text{H}_2\text{O}$

новительной реакции (ОВР) в диапазоне 30 – 100 % масс.  $\text{C}_6\text{H}_{12}\text{N}_4$  [4].

Характеристики тройной эвтоники системы  $\text{NH}_4\text{NO}_3 - \text{C}_6\text{H}_{12}\text{N}_4 - \text{H}_2\text{O}$  рассчитывали с использованием данных об элементах ограничения (см. табл. 1). Так, температура эвтоники составила  $-17,5^{\circ}\text{C}$ . Состав компонентов получили следующий, % масс.:  $\text{NH}_4\text{NO}_3$  — 39,90,  $\text{C}_6\text{H}_{12}\text{N}_4$  — 9,50,  $\text{H}_2\text{O}$  — 50,60.

Расчет температуры плавления/кристаллизации и состава системы подтверждал экспериментально с использованием метода ДТА (в низкотемпературной установке в качестве охлаждающего хладоагента применяли жидкий азот [6]).

На рис. 1 представлена термограмма ДТА рассчитанного состава тройной эвтоники. Наличие единичного экстремума свидетельствует о том, что состав действительно является эвтоническим и соответствует реальному составу. При этом расчетная температура эвтоники ( $-17,5^{\circ}\text{C}$ ) отличается от экспериментальной ( $-18^{\circ}\text{C}$ ) незначительно.

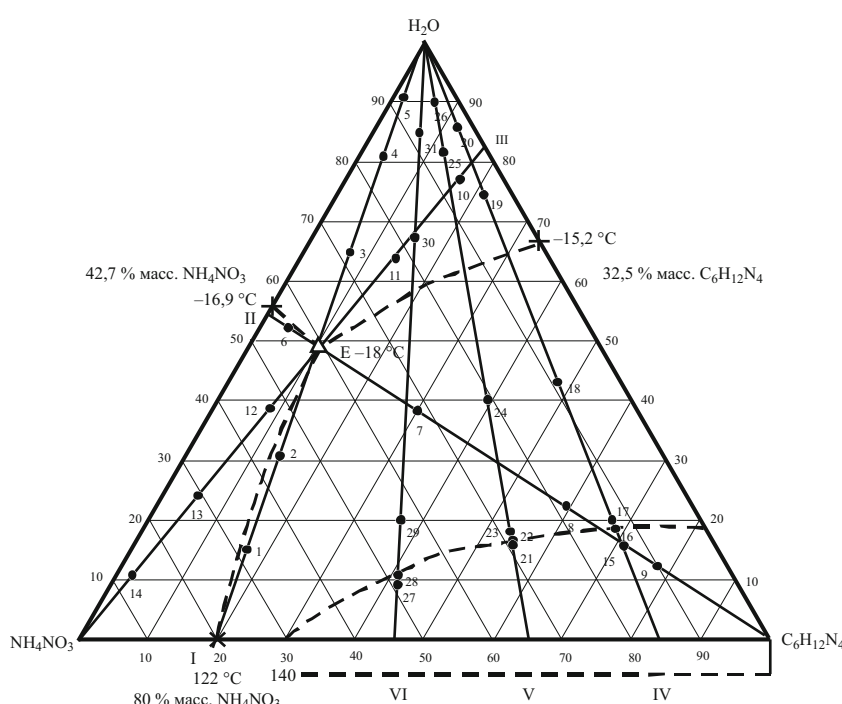
**Таблица 1.** Данные по элементам системы  $\text{NH}_4\text{NO}_3 - \text{C}_6\text{H}_{12}\text{N}_4 - \text{H}_2\text{O}$

| Квалификация   | Температура плавления/кристаллизации, $^{\circ}\text{C}$ | Содержание первого компонента, % масс. |
|--|--|--|
| <b>Исходные вещества</b>                                     |  |  |
| Нитрат аммония $\text{NH}_4\text{NO}_3$                      | хч   | 169,6                                  |
| Уротропин $\text{C}_6\text{H}_{12}\text{N}_4$                | хч   | 240,0                                  |
| Вода $\text{H}_2\text{O}$                                    | дистиллят  | 0                                      |
| <b>Двухкомпонентные системы</b>                              |  |  |
| $\text{NH}_4\text{NO}_3 - \text{H}_2\text{O}$                | —  | 16,9                                   |
| $\text{C}_6\text{H}_{12}\text{N}_4 - \text{H}_2\text{O}$     | —  | 15,2                                   |
| $\text{NH}_4\text{NO}_3 - \text{C}_6\text{H}_{12}\text{N}_4$ | —  | 122,0                                  |
|  |  | 80,0                                   |

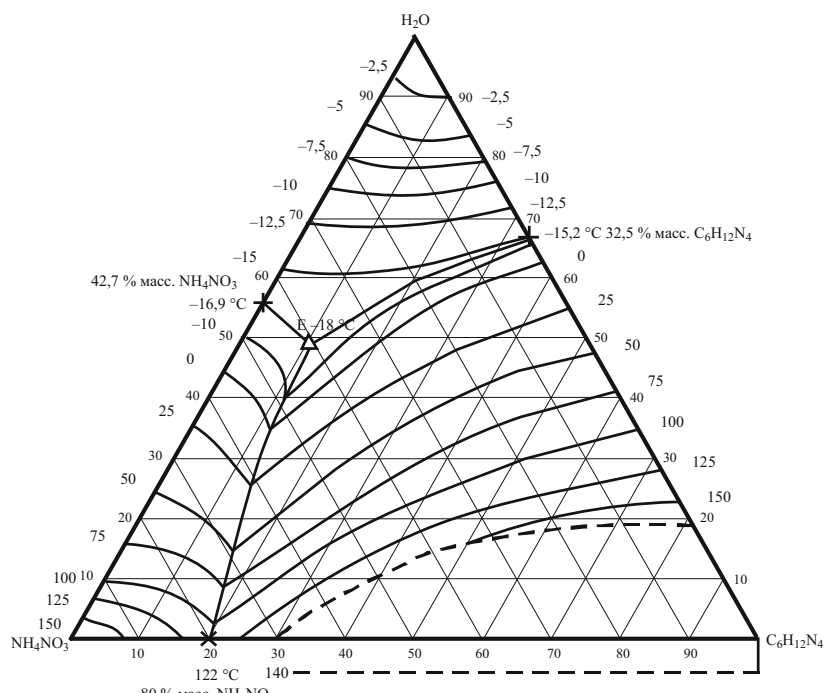
Поверхность кристаллизации системы  $\text{NH}_4\text{NO}_3 - \text{C}_6\text{H}_{12}\text{N}_4 - \text{H}_2\text{O}$  исследовали ВПА-методом с использованием криогидратной смеси  $\text{NaCl} - \text{H}_2\text{O}$  (лед) [7]. При 30 % масс. хлорида натрия смесь обеспечивала охлаждение исследуемых растворов до  $-21^{\circ}\text{C}$ .

Сущность метода ВПА заключается в том, что исследователь на установке визуально определяет температуры плавления (при нагреве) и кристаллизации (при охлаждении) исследуемого состава. При изменении скорости нагрева или охлаждения можно добиться сближения температур. По минимально возможной разнице между ними определяют истинную равновесную температуру фазового перехода.

На основе характеристик тройной эвтоники строили поверхность кристаллизации компонентов исследуемой системы. Полученные методом ВПА разрезы I – VI (рис. 2) позволили определить опорные точки изотерм фазовой диаграммы.



**Рис. 2.** Расположение тройной эвтоники системы  $\text{NH}_4\text{NO}_3 - \text{C}_6\text{H}_{12}\text{N}_4 - \text{H}_2\text{O}$  и внутренних разрезов I – VI для построения политечмы кристаллизации методом ВПА



**Рис. 3.** Политерма кристаллизации системы  $\text{NH}_4\text{NO}_3 - \text{C}_6\text{H}_{12}\text{N}_4 - \text{H}_2\text{O}$  с расположением моновариантных кривых совместной кристаллизации и поля ОВР (выделена пунктиром)

Наличие ОВР в двухкомпонентной системе  $\text{NH}_4\text{NO}_3 - \text{C}_6\text{H}_{12}\text{N}_4$  обуславливает исследование области ОВР в пределах тройной системы (разрезы IV – VI) (см. рис. 2).

Данные по разрезам I – VI приведены в табл. 2.

Полная политерма кристаллизации системы  $\text{NH}_4\text{NO}_3 - \text{C}_6\text{H}_{12}\text{N}_4 - \text{H}_2\text{O}$  приведена на рис. 3. Видно, что поле ОВР соответствует области, богатой уротропином.

Таким образом, с использованием фазовых равновесий построена поверхность кристаллизации системы  $\text{NH}_4\text{NO}_3 - \text{C}_6\text{H}_{12}\text{N}_4 - \text{H}_2\text{O}$ , которая показала, что система эвтоническая (температура эвтоники  $-18^\circ\text{C}$ ). Состав компонентов тройной эвтоники следующий, % масс.:  $\text{NH}_4\text{NO}_3 = 39,90$ ,  $\text{C}_6\text{H}_{12}\text{N}_4 = 9,50$ ,  $\text{H}_2\text{O} = 50,60$ . На фазовой диаграмме выявлена область ОВР. Исходными данными служили характеристики рассчитанной тройной эвтоники (достоверность подтверждалась низкотемпературным ДТА). Обычно опре-

**Таблица 2.** Экспериментальные данные по разрезам I – VI системы  $\text{NH}_4\text{NO}_3 - \text{C}_6\text{H}_{12}\text{N}_4 - \text{H}_2\text{O}$

| Номер точки<br>(см. рис. 2) | Состав, % масс.          |                                     |                      | Минимальная температура, °C | Номер точки<br>(см. рис. 2) | Состав, % масс.          |                                     |                      | Минимальная температура, °C |
|-----------------------------|--------------------------|-------------------------------------|----------------------|-----------------------------|-----------------------------|--------------------------|-------------------------------------|----------------------|-----------------------------|
|                             | $\text{NH}_4\text{NO}_3$ | $\text{C}_6\text{H}_{12}\text{N}_4$ | $\text{H}_2\text{O}$ |                             |                             | $\text{NH}_4\text{NO}_3$ | $\text{C}_6\text{H}_{12}\text{N}_4$ | $\text{H}_2\text{O}$ |                             |
| <b>Разрез I</b>             |                          |                                     |                      |                             |                             |                          |                                     |                      |                             |
| 1                           | 68                       | 17                                  | 15                   | 50                          | 16                          | 16                       | 65                                  | 19                   | 145 (ОВР)                   |
| 2                           | 55                       | 14                                  | 31                   | 10                          | 17                          | 16                       | 64                                  | 20                   | 140                         |
| 3                           | 28                       | 7                                   | 65                   | -14                         | 18                          | 11                       | 46                                  | 43                   | 50                          |
| 4                           | 15                       | 4                                   | 81                   | -6                          | 19                          | 5                        | 20                                  | 75                   | -9                          |
| 5                           | 7                        | 2                                   | 91                   | -3                          | 20                          | 3                        | 11                                  | 86                   | -4                          |
| <b>Разрез II</b>            |                          |                                     |                      |                             |                             |                          |                                     |                      |                             |
| 6                           | 43                       | 4                                   | 53                   | -15                         | 21                          | 34                       | 51                                  | 15                   | 142 (ОВР)                   |
| 7                           | 31                       | 30                                  | 39                   | 35                          | 22                          | 34                       | 50                                  | 16                   | 140 (ОВР)                   |
| 8                           | 18                       | 59                                  | 23                   | 120                         | 23                          | 33                       | 49                                  | 18                   | 120                         |
| 9                           | 10                       | 77                                  | 13                   | 160                         | 24                          | 24                       | 36                                  | 40                   | 40                          |
| <b>Разрез III</b>           |                          |                                     |                      |                             |                             |                          |                                     |                      |                             |
| 10                          | 7                        | 15                                  | 78                   | -7                          | 25                          | 7                        | 11                                  | 82                   | -5,5                        |
| 11                          | 22                       | 13                                  | 65                   | -14                         | 26                          | 4                        | 6                                   | 90                   | -3                          |
| <b>Разрез IV</b>            |                          |                                     |                      |                             |                             |                          |                                     |                      |                             |
| 12                          | 53                       | 8                                   | 39                   | 0                           | 27                          | 50                       | 41                                  | 9                    | 140 (ОВР)                   |
| 13                          | 71                       | 5                                   | 24                   | 40                          | 28                          | 49                       | 40                                  | 11                   | 140 (ОВР)                   |
| 14                          | 87                       | 2                                   | 11                   | 90                          | 29                          | 43                       | 35                                  | 20                   | 80                          |
| <b>Разрез V</b>             |                          |                                     |                      |                             |                             |                          |                                     |                      |                             |
| 15                          | 17                       | 67                                  | 16                   | 145 (ОВР)                   | 30                          | 18                       | 15                                  | 67                   | -13                         |
|                             |                          |                                     |                      |                             | 31                          | 8                        | 7                                   | 85                   | -4,5                        |

деление состава и температуры плавления тройной эвтоники — последний этап исследования полимер кристаллизации. В данном случае рассчитанные характеристики тройной эвтоники позволили существенно сократить число необходимых внутренних разрезов, а также время и трудозатраты для исследования полимеры кристаллизации системы  $\text{NH}_4\text{NO}_3 - \text{C}_6\text{H}_{12}\text{N}_4 - \text{H}_2\text{O}$  в целом.

## ЛИТЕРАТУРА

1. Термические константы веществ: справочник / Под ред. В. П. Глушко. — М.: ВИНИТИ, 1978. — 384 с.
2. Трунин А. С., Андреев Е. А., Почкинова Т. В., Моргунова О. Е. Система аммиачная селитра — вода / 5-я Межд. конф. молодых ученых «Актуальные проблемы современной науки». Ч. 12. Физико-химический анализ: сб. тр. — Самара: СамГТУ, 2004. С. 136 — 139.

UDC 543.226:541.123.7

## THE CRYSTALLIZATION POLYTERM OF THE $\text{NH}_4\text{NO}_3 - \text{C}_6\text{H}_{12}\text{N}_4 - \text{H}_2\text{O}$ SYSTEM

© T. V. Kasterina and A. S. Trunin

*Submitted February 15, 2016.*

The polytherm of crystallization of the  $\text{NH}_4\text{NO}_3 - \text{C}_6\text{H}_{12}\text{N}_4 - \text{H}_2\text{O}$  system is first studied. The system under study has one eutectic and two eutonic systems in the terminating elements. In the eutectic system  $\text{NH}_4\text{NO}_3 - \text{C}_6\text{H}_{12}\text{N}_4$  there is a stratification region with the presence of oxidation-reduction reactions (ORR), which is accompanied by the emission of gases confirming the redox process. Simulation procedure is used to calculate the characteristics of triple-eutonics in the system  $\text{NH}_4\text{NO}_3 - \text{C}_6\text{H}_{12}\text{N}_4 - \text{H}_2\text{O}$  providing composition and melting temperature of eutonics of the ternary system from the data regarding the terminating elements. Moreover, the solution of the inverse problem, which consists in primary determination of the characteristics of triple-eutonics, provides optimization of the choice of the internal cuts for elucidation of monovariant curves and crystallization surface of the ternary system. The use of simulation and single (confirming) experiment by differential thermal analysis (DTA) significantly reduced the time and labor costs for studying the system as a whole. A DTA unit of the new generation is used to confirm the validity of the triple-eutonics simulation and the internal sections of the system are studied using visual-polythermal analysis. The crystallization surface of the  $\text{NH}_4\text{NO}_3 - \text{C}_6\text{H}_{12}\text{N}_4 - \text{H}_2\text{O}$  system is constructed. The system has a triple eutonics with a temperature of  $-18^\circ\text{C}$ . The area of oxidation-reduction reactions is first revealed on the crystallization field, whereas a number of specially considered internal sections made it possible to reveal the size of the region of redox reactions inside the Tamman triangle.

**Keywords:** полимер; еутонии; фазовая диаграмма; дифференциальная термическая анализа; визуально-полимерная анализа.

## REFERENCES

1. Thermal constants of substances / V. P. Glushko (ed.). — Moscow: VINITI, 1978. — 384 p. [in Russian].
2. Трунин А. С., Андреев Е. А., Почкинова Т. В., Моргунова О. Е. The system of ammonium nitrate — water / 5<sup>th</sup> Int. Conf. of young scientists “Actual problems of modern science.” Part 12. Physical and chemical analysis. — Samara: Izd. SamGTU, 2004. P. 136 — 139 [in Russian].
3. Трунин А. С., Юлина И. В., Моргунова О. Е. Research methenamine — water system as a component for the development of alternative fuels / 5<sup>th</sup> Int. Conf. of young scientists “Actual problems of modern science.” Part 12. Physical and chemical analysis. — Samara: Izd. SamGTU, 2004. P. 141 — 142 [in Russian].
4. Трунин А. С., Юлина И. В. The study of the phase diagram of the system of ammonium nitrate — methenamine as a component of alternative fuels / 6<sup>th</sup> Int. Conf. of young scientists “Actual problems of modern science.” Part 19. Alternative energy from renewable resources. — Samara: Izd. SamGTU, 2005. P. 63 — 66 [in Russian].
5. Афанас'ева О. С., Егорова Г. Ф., Моргунова О. Е., Трунин А. С. The methodology of calculation of ternary eutectic according to data on elements of faceting systems of lower dimensionality / Vestnik SamGTU. 2007. N 1. P. 182 — 183 [in Russian].
6. Трунин А. С., Моргунова О. Е., Мешалкин А. В. Contemporary differential thermal analysis. — Samara: Izd. SamGTU, 2015. — 52 p. [in Russian].
7. Трунин А. С. Visually-polythermal method. — Samara: Izd. SamGTU, 2006. — 70 p. [in Russian].